

94-319



СООБЩЕНИЯ  
ОБЪЕДИНЕННОГО  
ИНСТИТУТА  
ЯДЕРНЫХ  
ИССЛЕДОВАНИЙ  
ДУБНА

P17-94-319

Л.Ц.Аджемян<sup>1</sup>, М.Гнатич\*, М.Стеглик\*

РЕНОРМГРУППОВОЙ РАСЧЕТ СПЕКТРОВ  
ЗАТУХАЮЩЕЙ ТУРБУЛЕНТНОСТИ  
В ЭНЕРГОСОДЕРЖАЩЕЙ И ИНЕРЦИОННОЙ  
ОБЛАСТЯХ

---

<sup>1</sup>Санкт-Петербургский государственный университет

\*Постоянное место работы: Институт экспериментальной физики  
САН, Кошице, Словакия

# 1 Введение

Известно, что феноменологическая теория Колмогорова, которая предсказывает универсальные спектры развитой турбулентности в инерционной и диссипативной областях, хорошо согласуется с экспериментальными данными [1, 2]. Это стимулировало многочисленные попытки описать упоминаемые области спектров исходя из первых принципов. В частности, методом ренормализационной группы (РГ) в инерционном интервале был получен колмогоровский спектр энергии [3] и вычислена константа Колмогорова [4, 6]. Энергосодержащая область рассматривалась ранее как неуниверсальная, сильно зависящая от условий эксперимента [1]. Более оптимистическая точка зрения состоит в том, что и эта часть спектра является универсальной в рамках определенных классов течений. Георгом [7] были проанализированы с этой точки зрения экспериментальные спектры на различных расстояниях  $x$  от решетки и подтверждена возможность их универсального описания.

Возникает естественное желание обобщить РГ-технику, успешно использованную в инерционном интервале, и на энергосодержащую область. С этой целью необходимо конкретизировать вид спектра шума, используемого в стохастической модели однородной изотропной турбулентности, чтобы сделать его адекватным описанию турбулентности за решеткой. В настоящей работе шум выбирается таким способом, чтобы реалистично описать спектральный баланс энергии.

Содержание работы следующее. После введения формулируется модель распадающей турбулентности и выводятся основные уравнения. Исследуются автомодельные решения этих уравнений, в частности приведены степенные законы затухания по времени для корреляционной длины, скорости диссипации и полной энергии, хорошо согласующиеся с экспериментальными данными. В следующей части решается интегродифференциальное нелинейное уравнение для спектра турбулентной энергии и спектра функции переноса с заданной асимптотикой при больших и малых волновых числах. Полученные решения сравниваются с экспериментальными данными в энергосодержащей и инерционной областях. В заключение сформулированы основные результаты работы, а в приложении вычисляется константа Колмогорова для инерционного интервала в общем случае  $d$ -мерного пространства.

## 2 Основные уравнения

Закон спектрального баланса энергии для распадающей однородной турбулентности несжимаемой жидкости описывается в  $k$ -пространстве уравнением

$$\partial_t E(k) = -2\nu k^2 E(k) + T(k), \quad (1)$$

где

$$E(k) = \frac{1}{2} \frac{S_d}{(2\pi)^d} k^{d-1} \int dr e^{-ikr} G_{ii}(r) \quad (2)$$

- спектральная плотность энергии;

$$G_{ij}(\mathbf{r} - \mathbf{r}') = \langle v_i(\mathbf{r})v_j(\mathbf{r}') \rangle_t \quad (3)$$

- корреляционная функция поля скорости. Скобки  $\langle \dots \rangle_t$  обозначают усреднение по некоторому распределению поля скорости для данного времени  $t$ ;  $d$  - размерность пространства,

$$S_d = \frac{2\pi^{d/2}}{\Gamma(d/2)} \quad (4)$$

- площадь единичной сферы в  $d$ -мерном пространстве,  $\Gamma(x)$  - гамма-функция,  $\nu$  - кинематический коэффициент вязкости. Функция переноса  $T(k)$  в уравнении (1) дается выражением

$$T(k) = -\frac{S_d}{(2\pi)^d} k^{d-1} \int d(\mathbf{r} - \mathbf{r}') e^{-ik(\mathbf{r}-\mathbf{r}')} \langle v_i(\mathbf{r})\partial_j v_i(\mathbf{r}')v_j(\mathbf{r}') \rangle_t \quad (5)$$

и удовлетворяет соотношению

$$\int_0^\infty dk T(k) = 0, \quad (6)$$

которое является следствием сохранения полной энергии в невязкой жидкости

$$\mathcal{E} = \int_0^\infty dk E(k). \quad (7)$$

Таким образом, баланс полной энергии описывается уравнением

$$\partial_t \mathcal{E} = -\bar{\varepsilon}, \quad (8)$$

где

$$\bar{\varepsilon} = 2\nu \int_0^\infty dk k^2 E(k) \quad (9)$$

обозначает скорость диссипации энергии на единицу массы.

Для локально-однородной турбулентности [1] аналогичное уравнение можно получить заменой  $\partial_t \rightarrow V\partial_x$  ( $V$  - средняя скорость жидкости в  $x$  - направлении) в уравнении (1). В этом случае уравнение спектрального баланса энергии для затухающей турбулентности за решеткой имеет вид

$$V\partial_x E(k) = -2\nu k^2 E(k) + T(k). \quad (10)$$

Дальнейший анализ одинаково применим как для уравнения (1), так и для уравнения (10).

Уравнение (1) является незамкнутым. В рамках феноменологического замыкания используются некоторые приближенные выражения для  $T(k)$  в терминах  $E(k)$  (см., напр., [1]). Более последовательный путь состоит в построении статистического

ансамбля случайного поля скорости. В настоящей работе используется ансамбль, полученный в рамках стохастической модели развитой однородной изотропной турбулентности. В таком подходе обе функции  $E(k)$  и  $T(k)$  выражаются через спектр шума  $D(k)$  (см. ниже), явный вид которого должен быть определен из уравнения (1). При этом предполагается, что когда параметры, входящие в  $D(k)$ , медленно меняются со временем (или в направлении оси  $x$  для турбулентности за решеткой), то применимо приближение локально-однородной турбулентности. Зависимость этих параметров от времени тоже может быть найдена из уравнения (1).

Стохастическая модель развитой однородной изотропной турбулентности несжимаемой жидкости описывается уравнением Навье-Стокса

$$\partial_t \vec{v} = \nu \Delta \vec{v} - (\vec{v} \nabla) \vec{v} - \nabla P + \vec{f}, \quad (11)$$

где  $P$  - давление. Гауссова статистика внешней случайной силы определяется коррелятором шума

$$\langle f_i f_j \rangle = D(k) P_{ij}, \quad (12)$$

где  $P_{ij} = \delta_{ij} - k_i k_j / k^2$  - поперечный проектор. Спектральную функцию шума можно записать в виде

$$D(k) = D_0 F(kl) k^{-y}. \quad (13)$$

Здесь предполагается, что амплитуда  $D_0$ , а также корреляционная длина  $l$  слабо зависят от времени  $t$ , и функция  $F(kl)$  нормирована условием  $F(\infty) = 1$ . Для  $kl \gg 1$  это соответствует степенной модели, использованной в [8, 4].

Для  $E(k)$  и  $T(k)$  будут использованы выражения, даваемые РГ-методом и техникой  $\epsilon$ -разложения:

$$E(k) = \frac{(d-1)}{4} \frac{S_d}{(2\pi)^d} g_*^{1/3} D_0^{2/3} F(kl) k^{1-4\epsilon/3}, \quad (14)$$

$$g_* = \frac{4\epsilon(d+2)(4\pi)^{d/2} \Gamma(d/2)}{3(d-1)}, \quad (15)$$

$$\begin{aligned} T(k) = & \frac{1}{8} D_0 g_* \frac{S_d k^{d-1}}{(2\pi)^{2d}} \int d\mathbf{q} \frac{1 - (\mathbf{kq})^2 / k^2 q^2}{p^2 (k^2 - 2\epsilon/3 + q^2 - 2\epsilon/3 + p^2 - 2\epsilon/3)} \{ F(lq) F(lp) \\ & \times [k^4 (d-1) - 2dk^2 (\mathbf{qk}) + 2(d-2)k^2 q^2 + 4(\mathbf{qk})^2] (pq)^{2-d-4\epsilon/3} \\ & - F(lq) F(lk) [(d-1)k^2 p^2 - 2q^2 (\mathbf{pk})] q^{2-d-4\epsilon/3} k^{2-d-4\epsilon/3} \\ & - F(lp) F(lk) [(d-1)k^2 q^2 - 2p^2 (\mathbf{qk})] p^{2-d-4\epsilon/3} k^{2-d-4\epsilon/3} \}, \end{aligned} \quad (16)$$

где  $\vec{p} = \vec{k} - \vec{q}$  и по определению положено  $y = d - 4 + 2\epsilon$ .

Выражение для  $E(k)$  при  $F = 1$  было получено в ряде работ (см. обзор [9]). В приводимом выше виде его можно найти в работе [6]. Выражение (16) для функции переноса  $T(k)$  получается аналогичным, предложенным в последней работе,

способом, а именно интегрированием РГ-представления тройного коррелятора, вычисленного в первом порядке  $\epsilon$ -разложения. Отметим, что, как и для  $E(k)$ , его общий критическая размерность оказывается при этом вычисленной точно так, как соответствующий ряд по  $\epsilon$  обрывается на первом члене [9]. По форме (16) совпадает с EDQNM приближением [10, 12], амплитудный множитель в котором выражен через  $D_0$  точно так же, как в [5], отличающемся от (16) лишь отсутствием множителей  $F$ , которые существенны в энергосодержащей области. Соотношения (14)-(16) при  $F = 1$  и моделировании однородной турбулентности внешней накачкой позволяют получить выражение для константы Колмогорова в  $d$ -мерном пространстве. Краткий вывод этого выражения приведен в приложении.

Для ближайших целей явный вид (16) несуществен. Важно то, что функция переноса имеет скейлинговую форму

$$T(k) = D_0 \frac{S_d}{(2\pi)^d} \frac{g_*}{2} k^{3-2\epsilon} \psi(kl), \quad (17)$$

которую нетрудно получить из (16) переходом к безразмерной переменной интегрирования  $q/k$ . Подставляя (14) и (17) в (1) и пренебрегая вязким членом в инерционном и энергосодержащем интервалах, для  $d = 3$  получим

$$[D_0(t)g_*^2]^{-1/3} [l(t)/\chi]^{2-2\epsilon/3} \left[ \frac{2}{3} F(\chi) \partial_t \ln D_0(t) + \partial_\chi F(\chi) \partial_t \ln l(t) \right] = \psi(\chi), \quad (18)$$

где  $\chi = kl$ .

Соотношение (18) позволяет найти одновременно законы затухания во времени величин  $D_0(t)$ ,  $l^{-1}(t)$  и вид спектральной функции  $F(\chi)$ .

Первая задача может быть решена без конкретизации функции  $\Psi$  и знания точного вида функции  $F(\chi)$  с использованием только их асимптотических свойств.

Рассмотрим сначала область  $\chi \gg 1$ . В этой области  $F(\infty) = 1$ , переменные в (18) разделяются, и мы получаем:

$$\frac{2}{3} g_*^{-2/3} D_0^{-1/3}(t) l^{2-2\epsilon/3}(t) \partial_t \ln D_0(t) = \chi^{2-2\epsilon/3} \psi(\chi) / F(\chi) = C_1, \quad (19)$$

где  $C_1$ -переменная интегрирования. Для  $C_1 \neq 0$  и  $\epsilon < 3$  из (19) следует, что  $\Psi(\infty) = 0$ . Это эквивалентно занулению функции переноса в инерционном интервале. Это условие выполняется при колмогоровских значениях индексов, чему соответствует значение  $\epsilon = 2$  [10, 2]. Далее мы будем использовать данное значение. Подставляя (19) в (18), имеем:

$$C_1 \chi^{-2/3} \left[ F(\chi) + \frac{3}{2} \partial_\chi F(\chi) \frac{\partial_t \ln l(t)}{\partial_t \ln D_0(t)} \right] = \psi(\chi). \quad (20)$$

Переменные здесь снова разделяются, что дает:

$$\frac{2}{3} C_2 \partial_t \ln D_0(t) = \partial_t \ln l(t) \quad (21)$$

с новой константой  $C_2$ . Подставляя (21) в (20), получаем

$$C_1 \chi^{-2/3} [F(\chi) + C_2 \chi \partial_\chi F(\chi)] = \psi(\chi). \quad (22)$$

Значение константы  $C_2$  связано с асимптотическим поведением спектров при  $kl \ll 1$ . Следуя [2], мы примем, что в этой области справедливо:

$$\lim_{k \rightarrow 0} E(k)/k^2 = \text{const} \neq 0, \quad E(k) \sim k^2 \quad \text{для } k \ll 1, \quad (23)$$

$$\lim_{k \rightarrow 0} T(k)/k^2 = 0, \quad (24)$$

что эквивалентно следующему поведению  $F(k)$  и  $\Psi$ :

$$F(\chi) \sim \chi^{11/3} \quad \text{для } k \ll 1, \quad (25)$$

$$\lim_{k \rightarrow 0} \psi(\chi)/\chi^3 = 0. \quad (26)$$

Из (22) нетрудно убедиться, что этому соответствует значение  $C_2 = -3/11$ , которое всюду в дальнейшем используется. Решая систему уравнений (19), (21), получаем искомые законы затухания:

$$D_0 \sim (t - t_0)^{-11/5}, \quad (27)$$

$$l \sim (t - t_0)^{2/5}. \quad (28)$$

Для полной энергии и скорости диссипация тогда получаем:

$$\mathcal{E} \equiv \int_0^\infty dk E(k) \sim (D_0 l)^{2/3} \sim (t - t_0)^{-6/5}, \quad (29)$$

$$\bar{\epsilon} \sim \partial_t \mathcal{E} \sim (t - t_0)^{-11/5}, \quad (30)$$

откуда видно, что  $\bar{\epsilon}(t) \sim D_0(t)$ . Мы пришли к известным законам затухания, хорошо согласующимся с экспериментальными данными [2].

Экспоненты в (28)-(30) таковы, что позволяют отождествить длину  $l$  с известной длиной Фон Кармана:

$$l \equiv \frac{u^3}{\bar{\epsilon}} = \left( \frac{2\mathcal{E}}{3} \right)^{3/2} \frac{1}{\bar{\epsilon}} \quad (31)$$

и увязать постоянную интегрирования  $C_1$  с константой Колмогорова. Здесь среднеквадратичная скорость  $u$  определена соотношением  $\mathcal{E} = 3u^2/2$ . Полагая в (14)  $d = 3$  и  $\epsilon = 2$ , перепишем ее в виде:

$$E(k) = C_k \bar{\epsilon}^{2/3} k^{-5/3} F(kl), \quad (32)$$

где

$$C_k \bar{\epsilon}^{2/3} = \frac{1}{(2\pi)^2} g_*^{1/3} D_0^{2/3}. \quad (33)$$

Заметим, что ввиду выше отмеченного свойства  $\bar{\varepsilon}(t) \sim D_0(t)$  следует, что  $C_k$  не зависит от времени. Интегрируя (32), имеем:

$$\mathcal{E} = C_k \bar{\varepsilon}^{2/3} I^{2/3}, \quad (34)$$

$$I \equiv \int_0^\infty d\chi \chi^{-5/3} F(\chi). \quad (35)$$

Учитывая определение (31), получаем

$$C_k = \frac{3}{2I}. \quad (36)$$

Используя (19), (21), (27), (28) и (30), после несложных преобразований для константы  $C_1$  имеем

$$C_1 = -\frac{11}{27\pi} g_*^{-1/2} C_k^{-1/2} = -\frac{11}{54\pi^2} \left(\frac{I}{10}\right)^{1/2}. \quad (37)$$

Переходим к нашей главной задаче - вычислению спектров  $E(k)$  и  $T(k)$ . Подстановка (37) в (22) дает основное уравнение для вычисления искомых спектров

$$\frac{22}{27} \left(\frac{I}{10}\right)^{1/2} \chi^{-2/3} \left[\frac{3}{11} \chi \partial_\chi - 1\right] F(\chi) = I_1(\chi). \quad (38)$$

Это интегрируемо-дифференциальное уравнение, в котором согласно (35)  $I$  - функционал от  $F(\chi)$ , а нелинейный интегральный оператор определен равенством

$$\begin{aligned} I_1(\chi) &= (2\pi)^2 \psi(\chi) \\ &= \left\{ \int \int \right\} \frac{(1-t^2)q^{-5/3}p^{-17/3}}{1+q^{2/3}+p^{2/3}} \left\{ (1-3qt+q^2+2q^2t^2)F(\chi q)F(\chi p) \right. \\ &\quad \left. - (1-2qt+q^3t)p^{11/3}F(\chi q)F(\chi) + [1-2qt-p^2(1-qt)]q^{11/3}F(\chi p)F(\chi) \right\}, \end{aligned} \quad (39)$$

где  $p^2 = 1 - 2qt + q^2$  и введено обозначение

$$\left\{ \int \int \right\} \equiv \left\{ \int_0^1 dq \int_{-1}^1 dt + \int_{1/2}^\infty dq \int_{-1}^{1/(2q)} dt \right\}. \quad (40)$$

Уравнение должно решаться с условием нормировки  $F(\infty) = 1$ . Оно решалось методом пробных функций. В качестве простейшего однопараметрического приближения была выбрана известная форма спектра Фон Кармана

$$E(k) = C_k \bar{\varepsilon}^{2/3} \frac{k^2}{(k^2 + b^2/l^2)^{11/6}}, \quad (41)$$

что с учетом (32) дает

$$F(\chi) = \frac{\chi^{11/3}}{(\chi^2 + b^2)^{11/6}}. \quad (42)$$

Для такого спектра интеграл (35) вычисляется аналитически

$$I = \frac{b^{-2/3} \sqrt{\pi} \Gamma(1/3)}{4\Gamma(11/6)}. \quad (43)$$

Параметр  $b$  выбирался из условия наилучшего совпадения левой и правой частей (38). Более точно, минимизировалось относительное среднеквадратичное отклонение этих величин, умноженных на  $C_k^{3/2} g_*^{1/2} / \chi$ , в интервале  $0 \leq \chi \leq 15$ , поскольку в этом случае правая часть (38) имеет смысл безразмерного спектра функции переноса  $T(k)/\bar{\varepsilon}l$ . Было получено значение  $b \simeq 1.35$ . Из (36) и (43) для константы Колмогорова имеем

$$C_k = \frac{2b^{2/3} \Gamma(11/6)}{\sqrt{\pi} \Gamma(4/3)} \simeq 1.45. \quad (44)$$

Оказалось, что уже однопараметрическое приближение обеспечивает неплохую согласованность амплитуды и положение максимумов кривых левой и правой частей (38).

Более сложная форма пробной функции выбиралась так, чтобы учесть асимметрию в окрестности точки максимума и выполнимость уравнения (38) в области  $\chi \gg 1$ . Для выполнения первого условия знаменатель формулы Фон Кармана был заменен формой  $k^4 + 2m^2 k^2 + b^4$ . Проанализируем второе условие. Полагая в левой части непосредственно  $F(\chi) = 1$ , приводим ее к виду

$$-\frac{22}{27} \left(\frac{I}{10}\right)^{1/2} \chi^{-2/3} = -\frac{22}{27} \left(\frac{3}{20C_k}\right)^{1/2} \chi^{-2/3}.$$

Для пробной функции (42) правая часть (38) имеет асимптотику  $I_1 \sim k^{-4/3}$ . Нетрудно убедиться, что для согласования асимптотик необходимо использовать функцию  $F$ , имеющую асимптотическое поведение  $F \simeq 1 - hk^{-2/3}$ . Линеаризуя интегральный оператор (39) по  $h$ , из уравнения (38) для асимптотической области  $\chi \gg 1$  находим

$$h = \frac{11}{27I_2} \left(\frac{3}{5C_k}\right)^{1/2}, \quad (45)$$

где

$$\begin{aligned} I_2 &= \left\{ \int \int \right\} \frac{(1-t^2)q^{-5/3}p^{-17/3}}{1+q^{2/3}+p^{2/3}} \left\{ (1-3qt+q^2+2q^2t^2)(q^{-2/3}+p^{-2/3}) \right. \\ &\quad \left. - (1-2qt+q^3t)p^{11/3}(1+q^{-2/3}) + [1-2qt-p^2(1-qt)]q^{11/3}(1+p^{-2/3}) \right\}. \end{aligned} \quad (46)$$

Численное интегрирование дает  $I_2 = 0.391$ . С учетом вышесказанного была выбрана трехпараметрическая пробная функция

$$F(\chi) = \frac{\chi^{11/3}}{(\chi^4 + 2m^2\chi^2 + b^4)\chi^{11/12} [1 + h(c^2 + \chi^2)^{-1/3}]} \quad (47)$$

со свободными параметрами  $m, b, c$ . Параметр  $c$  был введен для обеспечения аналитичности функции  $F$  при  $\chi \rightarrow 0$ . Минимизация среднеквадратичного отклонения левой и правой частей (38) приводит к следующим значениям параметров:

$$b = 1.570, \quad m = 0.657, \quad c = 2.838.$$

Для константы Колмогорова  $C_k$  получаем

$$C_k = 1.577, \quad (48)$$

причем согласно (45)  $h = 0.643$ . Относительное среднеквадратичное отклонение в интервале  $0 \leq \chi \leq 15$  составило 1.25%. Рис.1 иллюстрирует степень совпадения правой и левой частей (38). Непрерывная кривая изображает левую часть, результаты же вычисления двойного интеграла в правой части для отдельных значений  $\chi$  изображены знаками \*. Отметим, что данный рисунок одновременно показывает поведение безразмерного спектра функции переноса в энергосодержащей области с выходом на нулевую асимптотику в инерционном интервале, т.е. при больших  $\chi$ . Функция  $F(\chi)$  в (47) соответствует энергетический спектр  $E(k)$

$$E(k) = \frac{C_k \varepsilon^{2/3} k^2}{(k^4 + 2m^2k^2/l^2 + b^4/l^4)^{11/12} [1 + h(c^2 + k^2/l^2)^{-1/3}]} \quad (49)$$

Обычно в эксперименте измеряется продольный спектр  $E_{||}(k)$ , связанный с  $E(k)$  соотношением [1]

$$E_1(k) = \int_k^\infty \frac{dk_1}{k_1} \left(1 - \frac{k^2}{k_1^2}\right) E(k_1). \quad (50)$$

Для безразмерного спектра  $E_{||}(k)/u^2 l$  из (32), (31) получаем

$$\frac{E_1(k)}{u^2 l} = C_k^{-5/3} \int_1^\infty dq q^{-8/3} (1 - q^{-2}) F(q). \quad (51)$$

В работе [7] экспериментальные данные [11] приведены в используемых нами безразмерных переменных  $\chi = kl$  и  $E_{||}(k)/u^2 l$ . На рисунке 2 приведены экспериментальные точки, соответствующие энергосодержащему и инерционному интервалам, измеренные на разных расстояниях  $x$  от решетки ( $x/M$  - относительное расстояние). Самые правые точки показывают отклонение от колмогоровского наклона, что объясняется влиянием диссипации. Результат нашего вычисления спектра (51) с  $F$  из (47) изображен сплошной линией. Знаками «\*» для сравнения показан колмогоровский наклон в инерционной области.

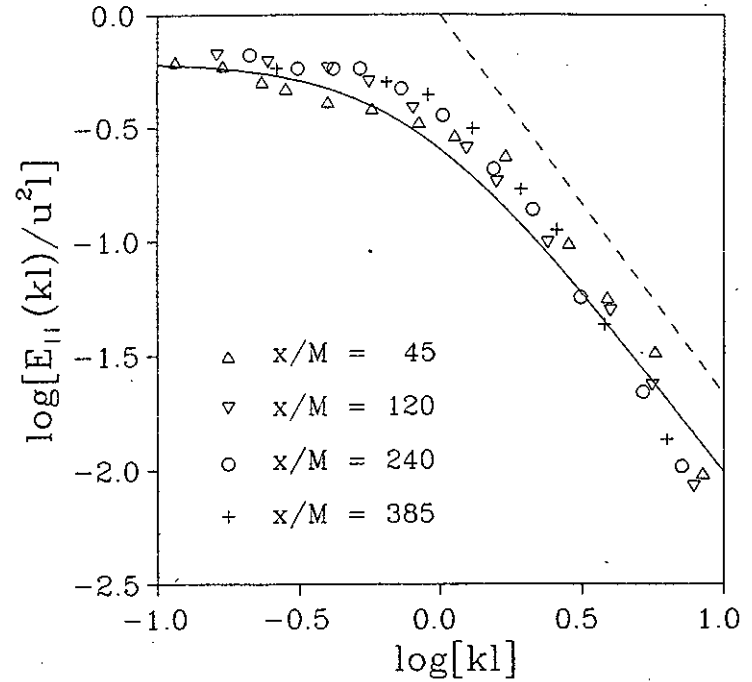


Рис.1. Графики экспериментальной и теоретической зависимости продольного спектра турбулентной энергии от волнового числа  $k$ , измеренного в единицах обратных длин Фон Кармана

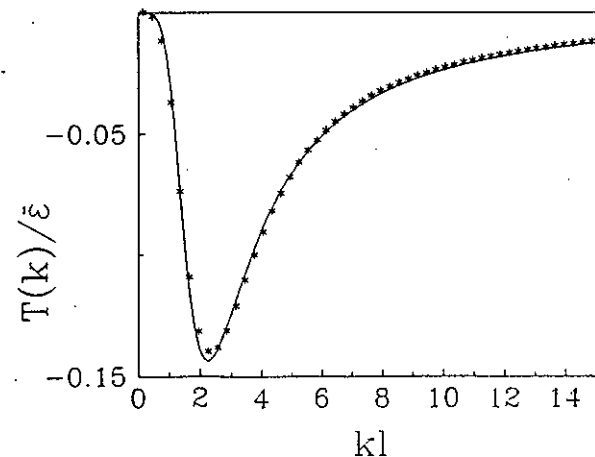


Рис.2. Графическое изображение поведения левой (сплошная кривая) и правой (знаки \*) частей уравнения (38) с пробной функцией (47)

При сравнении экспериментальных данных с теоретической кривой нужно учитывать, что эта кривая соответствует случаю сильно развитой турбулентности для предельно больших чисел Рейнольдса. Естественно поэтому, что согласованность теории и эксперимента должна улучшаться с увеличением числа Рейнольдса (с уменьшением расстояния  $x/M$  от решетки). Такое поведение в известной степени демонстрирует рис. 2.

### 3 Заключение

Основной результат работы состоит в том, что предложен способ расчета спектра энергии и функции переноса затухающей турбулентности в энергосодержащем интервале. С этой целью использована стохастическая модель изотропной однородной турбулентности, в которой спектр шума выбирался таким образом, чтобы оптимально описать реальный спектральный баланс энергии в локально-однородном приближении. В качестве технического метода расчета использовался РГ-подход и  $\epsilon$ -разложение. Это позволило обойтись без введения в теорию подгочных параметров и найти замкнутое уравнение для спектра энергии.

Полученный продольный спектр энергии не содержит свободных параметров и удовлетворительно согласуется с экспериментальными данными в области изменения волнового числа от  $10^{-1}$  до  $10^1$  обратных длин Фон Кармана. При этом спектральная энергия также мейется почти на два порядка.

Спектр функции переноса также качественно согласуется с физическими представлениями о его поведении в энергосодержащем интервале [2], однако точность экспериментальных данных не позволяет проводить количественные сравнения.

М.Стеглик и М.Гнатич выражают свою признательность Д.И.Казакову и директору ЛТФ ОИЯИ академику Д.В.Ширкову за создание оптимальных условий для научной работы во время их пребывания в ЛТФ. Авторы также благодарят Я.Немчина за помощь при создании рисунков.

Данная работа выполнена при финансовой поддержке: Российского фонда фундаментальных исследований, Международного научного фонда (грант R-63000) и гранта 2/550/93 Словацкой академии наук.

### 4 Приложение

При изучении однородной турбулентности, интересуясь только инерционным интервалом, примем для спектра шума модель  $D(k) = \bar{\epsilon}\delta(\vec{k})$ , и баланс энергии будет описываться

$$\frac{T(k)}{S_d k^{d-1}} = \bar{\epsilon}\delta(\vec{k}) \quad (52)$$

(вязким членом можно пренебречь). Чтобы согласовать это с видом (13), возьмем степенное представление для  $\delta$ -функции

$$\delta(k) = S_d^{-1} \lim_{\sigma \rightarrow +0} \frac{\sigma}{k^{d-\sigma}}, \quad (53)$$

$$2\epsilon = 4 - \sigma. \quad (54)$$

Уравнение баланса энергии запишется в виде:

$$T(k) = \bar{\epsilon} \lim_{\sigma \rightarrow +0} \frac{\sigma}{k^{1-\sigma}}. \quad (55)$$

Соотношение (55) с учетом (16) при  $F = 1$  определяет связь амплитуды  $D_0$  со скоростью диссипации  $\bar{\epsilon}$ . Коэффициент пропорциональности между ними находится

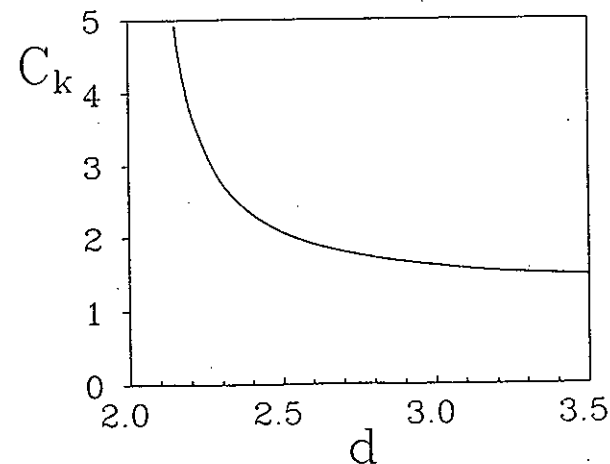


Рис.3. График зависимости константы Колмогорова от размерности пространства

с учетом того, что  $T(k) \rightarrow 0$  при  $\epsilon = 2$  [2, 10]. Подставляя найденное из (55) выражение для  $D_0$  в (14) и сравнивая с известной формулой  $E(k) = C_k \bar{\epsilon}^{2/3} k^{-5/3}$ , получаем для константы Колмогорова  $C_k$  выражение

$$C_k = \left( \frac{3\pi}{16(d+2)} \left[ \frac{(d-1)\Gamma(\frac{d+1}{2})}{T_0\Gamma(d/2)} \right]^2 \right)^{1/3}, \quad (56)$$

где  $T_0$  можно записать в виде:

$$T_0 = \left\{ \int \int \frac{(1-t^2)^{\frac{d-1}{2}} q^{-5/3} p^{-d-8/3}}{1+q^{2/3}+p^{2/3}} \times \left\{ [(d-1)q^2 - 2tqp^2] \ln q + [(d-1)p^2 - 2q^2(1-tq)] \ln p \right\} \right\}. \quad (57)$$

Здесь  $p^2 = 1 - 2tq + q^2$ , а  $\{ \int \int \}$  дается выражением (40).

Результат численного интегрирования приведен на рисунке 3. При  $d = 3$   $C_k \simeq 1.606$ , что соответствует результату [4, 13] и  $C_k \rightarrow \infty$  при  $d \rightarrow 2.066$  [12, 13].

## Литература

- [1] Мовин А.С., Яглом А.Н. *Статистическая гидромеханика*. Ч.2, (М., Наука, 1967).
- [2] McComb W.D. *The Physics of Fluid Turbulence* (Oxford: Clarendon, 1990).
- [3] C.De Dominicis and P.C.Martin, *Phys.Rev. A* 19 419 (1979).
- [4] V.Yakhot and S.A.Orszag, *J. Sci. Comput.* 1 3 (1986)  
V.Yakhot and S.A.Orszag, *Phys.Rev.Lett.* 57 1722 (1986).
- [5] W.P.Dannevik, V.Yakhot and S.A.Orszag, *Phys.Fluids* 30 2021 (1987).
- [6] Аджемян Л.Ц., Антонов Н.В., Васильев А.Н., *ЖЭТФ* 95 1272 (1989).
- [7] W.M.George, *Phys.Fluids A* 4 1492 (1992).
- [8] D.Forster, D.R. Nelson, M.J. Stephen, *Phys.Rev.A* 16 732 (1977).
- [9] Аджемян Л.Ц., Антонов Н.В., Васильев А.Н. *Квантово-полевая ренорм-группа в теории развитой турбулентности* (направлено в УФН).
- [10] S.A.Orszag, *Lectures on the statistical theory of turbulence* in *Fluid Dynamics*, Les Houches, 1973, edited by R.Balian and J.L.Peube (Gordon and Breach, New York) 235 (1977).
- [11] G.Compte-Bellot, S.Corrain, *J.Fluid Mech.* 48 273 (1971)
- [12] J.D. Fournier, U.Frisch, *Phys.Rev.A* 17 747 (1978).
- [13] D.Carati, *Phys.Rev. A* 41 3129 (1990).

Рукопись поступила в издательский отдел  
9 августа 1994 года.